



**UNIVERSIDADE FEDERAL DO MARANHÃO**

Fundação Instituída nos termos da Lei 5.152 de 21/10/1966 - São Luís - MA

**Centro de Ciências Exatas e Tecnologia**  
**Curso de Matemática – Bacharelado**

Rafael Vieira Sousa

# **Teorema de Cauchy-Goursat e Aplicações**

São Luís - MA  
2023

Rafael Vieira Sousa 

## **Teorema de Cauchy-Goursat e Aplicações**

Monografia (Trabalho de Conclusão de Curso) apresentada à Coordenadoria dos cursos de Matemática, da Universidade Federal do Maranhão, como requisito parcial para obtenção do grau de Bacharel em Matemática.

Curso de Matemática – Bacharelado  
Universidade Federal do Maranhão

Orientador: Prof. Dr. Elivaldo Rodrigues Macedo

São Luís - MA

2023

Ficha gerada por meio do SIGAA/Biblioteca com dados fornecidos pelo(a) autor(a).  
Diretoria Integrada de Bibliotecas/UFMA

Sousa, Rafael Vieira.

Teorema de Cauchy-Goursat e Aplicações / Rafael Vieira  
Sousa. - 2023.

46 p.

Orientador(a): Prof. Dr. Elivaldo Rodrigues Macedo.  
Monografia (Graduação) - Curso de Matemática,  
Universidade Federal do Maranhão, São Luís-MA, 2023.

1. Integração no plano complexo. 2. Teorema de  
Cauchy. 3. Teorema de Cauchy-Goursat. I. Macedo, Prof.  
Dr. Elivaldo Rodrigues. II. Título.

Rafael Vieira Sousa 

## Teorema de Cauchy-Goursat e Aplicações

Monografia (Trabalho de Conclusão de Curso) apresentada à Coordenadoria dos cursos de Matemática, da Universidade Federal do Maranhão, como requisito parcial para obtenção do grau de Bacharel em Matemática.

Trabalho **APROVADO**. São Luís - MA, 21/12/2023

---

**Prof. Dr. Elivaldo Rodrigues Macedo**  
Orientador  
DEMAT/UFMA

---

**Prof. Dr. Ermerson Rocha Araujo**  
Primeiro Examinador  
DEMAT/UFMA

---

**Prof. Dr. Ivaldo Paz Nunes**  
Segundo Examinador  
DEMAT/UFMA

# Agradecimentos

Na vida existem várias dificuldades para serem superadas, na vida acadêmica não foi diferente. Diante essas, dificuldades venho agradecer a todos que me ajudaram de algum modo no decorrer dessa jornada.

Em primeiro lugar agradeço a Deus, em segundo as pessoas que sempre estiveram ao meu lado, minha mãe Maria da Graça e meu pai Raimundo Nonato Sousa, que durante a pandemia vieste a falecer, agradeço também a minha esposa Evanildes Assunção juntos superamos muitas dificuldades, faço os meus agradecimentos a uma pessoa muito especial à minha madrinha, Sandra Maria a responsável por incentivar a entrar na vida acadêmica.

Ao longo dessa trajetória pude conhecer pessoas que foram essenciais e participaram da minha formação acadêmica, então gostaria de fazer meus agradecimentos ao meu orientador, Elivaldo Rodrigues Macedo, uma pessoa atenciosa que sempre esteve a disposição para tirar minhas dúvidas e tornou-se um grande amigo. Agradeço a todos os professores que durante essa jornada passaram os seu conhecimentos que foram crucial para concluir a graduação.

Por último, gostaria de fazer os meus mais sinceros agradecimentos a todos meus amigos que de alguma forma participaram dessa caminhada em especial (Carla Beatriz, Cláudio , Davi Komura, Irlan Maycon, Renata Franca, Rianderson, Ronaldo Pinheiro, Yangerfeson e Ygor Penha). Agradeço a todos pela oportunidade de conhecer-los e conviver-los com vocês durante esses anos na faculdade.

# Resumo

Neste trabalho, mostramos que o estudo de Análise Complexa nos proporcionou uma aprendizagem para enunciar e demonstrar o Teorema de Cauchy-Goursat. Para isto, utilizamos alguns resultados importantes e fizemos o estudo do(s) Números Complexos, Integração no plano complexo, Teorema de Grenn, Teorema de Cauchy.

**Palavras-chave:** Integração no plano complexo, Teorema de Cauchy, Teorema de Cauchy-Goursat.

# Abstract

In this work, we demonstrate that the study of Complex Analysis provided us with the knowledge to state and prove the Cauchy-Goursat Theorem. To do this, we employed some crucial results and conducted an exploration of Complex Numbers, Complex Plane Integration, Green's Theorem, and Cauchy's Theorem.

**Keywords:** Integration in the complex plane, Cauchy's Theorem , Cauchy-Goursat Theorem.

# Sumário

	<b>Lista de ilustrações</b> . . . . .	<b>7</b>
	<b>INTRODUÇÃO</b> . . . . .	<b>8</b>
<b>1</b>	<b>PRELIMINARES</b> . . . . .	<b>10</b>
1.1	Números Complexos . . . . .	10
1.2	Conjugado Complexo . . . . .	12
1.3	Funções Complexas de Variável complexa . . . . .	13
1.4	Limite Complexos . . . . .	14
1.4.1	Propriedades de Limites Complexos . . . . .	16
1.5	Continuidade Complexa . . . . .	16
1.6	Derivação e Analiticidade . . . . .	17
1.7	Equação de Cauchy-Riemann . . . . .	18
<b>2</b>	<b>INTEGRAÇÃO NO PLANO COMPLEXO</b> . . . . .	<b>22</b>
2.1	Definições . . . . .	22
2.1.1	Cálculo de integrais de contorno . . . . .	22
2.2	Propriedades da integral . . . . .	23
2.3	Principais teoremas . . . . .	26
2.3.1	Teorema de Green . . . . .	27
2.3.2	Teorema de Cauchy . . . . .	29
<b>3</b>	<b>TEOREMA DE CAUCHY-GOURSAT E APLICAÇÕES</b> . . . . .	<b>32</b>
3.1	Domínio simplesmente conexo e multiplamente conexo . . . . .	32
3.2	O Teorema de Cauchy-Goursat . . . . .	33
3.3	Aplicações do Teorema de Cauchy-Goursat . . . . .	38
	<b>Considerações finais</b> . . . . .	<b>45</b>
	<b>REFERÊNCIAS</b> . . . . .	<b>46</b>

# Lista de ilustrações

Figura 1.1 – Reflexão de $z$ em torno do eixo horizontal . . . . .	13
Figura 1.2 – Para $\delta < 1$ . . . . .	15
Figura 2.1 – O contorno $C$ é suave por partes . . . . .	24
Figura 2.2 – Curva tipo $I$ . . . . .	26
Figura 2.3 – Curva tipo $II$ . . . . .	27
Figura 2.4 – Circunferência onde $r = 1$ . . . . .	30
Figura 3.1 – Domínio simplesmente conexo e multiplamente conexo . . . . .	32
Figura 3.2 – Contornos triangulares $\Delta_1, \Delta_2, \Delta_3$ e $\Delta_4$ . . . . .	33
Figura 3.3 – Região poligonal . . . . .	36
Figura 3.4 – Contorno simples passando por uma curva poligonal . . . . .	37
Figura 3.5 – Circunferência de $r = 1$ . . . . .	39
Figura 3.6 – Circunferência de $r = 1$ . . . . .	39
Figura 3.7 – Circunferência de $r = 1$ . . . . .	40
Figura 3.8 – Circunferência de $r = 1$ . . . . .	42
Figura 3.9 – Circunferência de $r = 1$ no centro $2i$ . . . . .	43
Figura 3.10 – circunferência centrada na origem $C_1 = \sqrt{3}i, C_2 = -\sqrt{3}i$ e $r = 4$ . . . . .	44

# Introdução

A Análise Complexa é um ramo da Matemática que abordam assim como outros assuntos, estudo de funções de uma variável complexas. Vários conceitos podem ser estudados através desse ramo, podemos citar o Cálculo Diferencial e Integral para funções que tenha mais de uma variável complexa, exemplificando melhor, os números complexos. Além disso, a Análise Complexa tem grande importância em alguns conceitos e resultados da matemática: Série de Laurent, Teorema do resíduo, Funções Analítica, Teorema de Cauchy e etc...

Este trabalho tem como objetivo enunciar, demonstrar e fazer aplicações, por meio do Teorema de Cauchy-Goursat. Diante disso, apresentaremos resultados importantes da análise complexas: Teorema de Green, Teorema de Cauchy e o Teorema de Cauchy-Goursat. Esse teorema é um resultado fundamental no estudo da Análise Complexa. O Teorema de Cauchy-Goursat nos fornece uma condição no qual uma função pode ser analítica ou holomorfa, através desse teorema podemos calcular valores de integrais complexas ao longo de caminhos fechados.

O Capítulo 1, tratamos de fazer algumas abordagem, inicialmente apresento um estudo bem simples dos números complexos, Definição, Conjugado Complexo, Funções Complexas de Variável complexa, Limites Complexos e suas propriedades, Continuidade Complexa, Derivação e Continuidade e Equações de Cauchy-Riemann. Apresentado no capítulo um.

No Capítulo 2, abordamos um estudo de Integração no Plano Complexo, Definições de Integral Complexas numa curva fechada  $C$  com orientação negativa e positiva  $\oint_C f(z) dz$  e  $\oint_C f(z) dz$ . Mas, neste estudo denotaremos somente a orientação positiva, devido a isso, passaremos a nos referir a integral complexa  $\int_C f(z) dz$ , pela a denominação mais comum integral de contorno. Apresentaremos também neste capítulo, Propriedades da integral, Principais Teoremas: Green e o de Cauchy, esses teoremas servirão de base para tratarmos com o objetivo crucial para finalizar o trabalho.

Por fim, apresentamos a demonstração e fazemos algumas aplicações do Teorema de Cauchy-Goursat. Primeiramente, apresentaremos, Domínio simplesmente conexo e multiplamente conexo, pois tendo esses conhecimentos em mente fazemos a prova do principal teorema do texto: Teorema de Cauchy-Goursat. Finalizamos o trabalho

trataremos de apresentando algumas aplicações com a utilização do Teorema de Cauchy-Goursat.

# 1 Preliminares

Neste capítulo apresentaremos os números complexos, definições, propriedades, funções complexa de variável complexa, exemplos, limite e continuidade, derivada e analiticidade e equação de Cauchy-Riemann no qual servirá de suporte nos assuntos subsequentes que serão abordados. Neste Capítulo 1 usamos as referências (CHURCILL, 1899), (SOARES, 2003), (ÁVILA, 1993) e (DENNIS; SHANAHAN, 1940).

## 1.1 Números Complexos

**Definição 1.1.** Um número complexo  $z$  pode ser definido como um par ordenado  $(x, y)$  de números complexos reais  $x$  e  $y$ ,

$$z = (x, y), \quad (1.1)$$

sujeito às seguintes regras de operações a serem especificadas abaixo:

Então o par ordenado  $(x, 0)$  é identificado com o número real  $x$ :

$$(x, 0) = x. \quad (1.2)$$

Como podemos observar esta regra nos permite configurar os números reais como um subconjunto do conjunto dos números em  $\mathbb{C}$ .

O par  $(0, 1)$ , no qual o par será chamado **unidade imaginária** é indicado por  $i$ :

$$(0, 1) = i. \quad (1.3)$$

Os números reais  $x$  e  $y$  são, respectivamente, a **parte real** e a **parte imaginária** de  $(x, y)$ , sendo indicado por

$$\operatorname{Re}(z) = x, \operatorname{Im}(z) = y. \quad (1.4)$$

Se um par  $(0, y)$  é um número **imaginário puro**.

Outra regra a ser imposta a tais pares é que dois números em  $\mathbb{C}$  são iguais se, e somente se, as partes reais e imaginária de um são iguais, respectivamente, às do outro.

$$(x_1, y_1) = (x_2, y_2) \quad (1.5)$$

se e somente se  $x_1 = x_2$  e  $y_1 = y_2$ .

Temos em particular, visto que  $0 = (0, 0)$ , tem se

$$z = (x, y) = 0$$

se, e somente se  $x = 0$  e  $y = 0$ .

Dois números complexos quaisquer tal que  $z_1 = (x_1, y_1)$  e  $z_2 = (x_2, y_2)$  têm a soma e o produto por  $z_1 + z_2$  e  $z_1 \cdot z_2$ , definido como  $\mathbb{C}$  é dada pelas as fórmulas abaixo:

$$z_1 + z_2 = (x_1, y_1) + (x_2, y_2) = (x_1 + x_2, y_1 + y_2) \quad (1.6)$$

$$z_1 z_2 = (x_1, y_1)(x_2, y_2) = (x_1 x_2 - y_1 y_2, x_1 y_2 + x_2 y_1) \quad (1.7)$$

Em particular, tem-se  $(x, 0) + (0, y) = (x, y)$  e  $(0, y) = (y, 0)(0, 1)$ . Cada números complexos que não é real, podemos escrever como a soma de um número real e um número imaginário puro, de modo que:

$$z = (x, y) = x + yi \quad (1.8)$$

O produto podemos escrever da seguinte maneira  $z^2$  é o mesmo que  $z^2$  de acordo com a definição (1.6) tem-se

$$i^2 = (0, 1)(0, 1) = (0 \cdot 0 - 1 \cdot 1, 0 \cdot 1 + 1 \cdot 0) = (-1, 0) = -1$$

então temos que  $i^2 = -1$ , da equação (1.8), a fórmula (1.7) podemos escrever da seguinte forma

$$(x_1 + y_1 i)(x_2 + y_2 i) = x_1 x_2 - y_1 y_2 + (x_1 y_2 + x_2 y_1) i.$$

A expansão formal do produto no primeiro membro, foi feita como se os binômios fosse reais, e a substituição de  $i^2$  por  $-1$ , dar o mesmo resultado. A definição (1.7) conclui o procedimento formal.

Os pares ordenados (1.1) de números reais que satisfazem às condições (1.2) a (1.7) são definidos como números  $\mathbb{C}$ .

Essa definição é devida ao matemático irlandês **William R. Hamilton** e apareceu em 1837, embora muito anteriormente vários matemáticos já houvessem trabalhado com números complexos como pontos e planos.

Sendo assim temos, a soma e produto têm as seguintes propriedades:

### 1. Comutatividade

$$z_1 + z_2 = z_2 + z_1 \quad e \quad z_1 z_2 = z_2 z_1.$$

### 2. Associatividade

$$(z_1 + z_2) + z_3 = z_1 + (z_2 + z_3) \quad e \quad (z_1 z_2) z_3 = z_1 (z_2 z_3).$$

3.  $(0, 0)$  é elemento neutro aditivo:

$$z + (0, 0) = z,$$

para todo complexo  $z$ .

4.  $(1, 0)$  é identidade multiplicativa veja a equação

$$z \cdot (1, 0) = z,$$

para todo complexo  $z$ .

5. Todo  $z = (x, y)$  tem um simétrico aditivo

$$-z = (-x, -y), \text{ ou seja, } (x, y) + (-x, y) = (0, 0).$$

6. Todo  $z = (x, y) \neq (0, 0)$  tem um inverso multiplicativo, o número

$$\left( \frac{x}{x^2 + y^2}, \frac{-y}{x^2 + y^2} \right),$$

ou seja,

$$(x, y) \left( \frac{x}{x^2 + y^2}, \frac{-y}{x^2 + y^2} \right) = (1, 0).$$

7. Distributividade do produto em relação a soma

$$z_1(z_2 + z_3) = z_1z_2 + z_1z_3.$$

Todas essas propriedades decorrem (1.6), (1.7) e do fato que elas são válidas para a soma e o produto de números reais. um conjunto munido de uma soma e de um produto para quais valem as propriedades da soma e o produto.

## 1.2 Conjugado Complexo

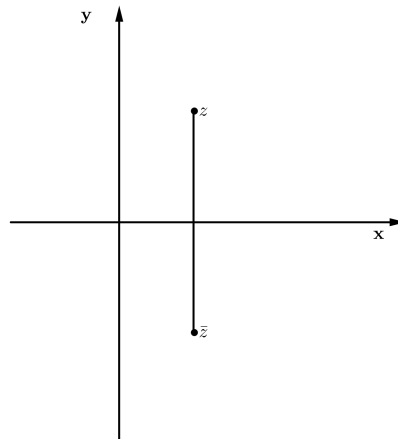
**Definição 1.2.** Dado um número complexo  $z = x + iy$  o conjugado de  $z$  é o número complexo de  $\bar{z} = x - iy$ .

Então, note que  $\bar{z}$  significa, geometricamente, a reflexão de  $z$  em torno do eixo horizontal (1.1).

A conjunção é importante porque, entre outras informações, nos diz que:

$$z\bar{z} = (x + iy)(x - iy) = x^2 + y^2 = |z|^2$$

Além disso é fácil verificar :

Figura 1.1 – Reflexão de  $z$  em torno do eixo horizontal

- $x = \operatorname{Re}(z) = \frac{1}{2}(z + \bar{z})$ ,
- $y = \operatorname{Im}(z) = \frac{1}{2i}(z - \bar{z}) = \frac{-i}{2}(z - \bar{z})$ ,
- $z$  é real se e somente se  $z = \bar{z}$ ,
- $\overline{z_1 + z_2} = \bar{z}_1 + \bar{z}_2$ ,
- $\overline{z_1 z_2} = \bar{z}_1 \bar{z}_2$ .

Utilizando a última dessas igualdades temos:

$$|z_1 z_2|^2 = z_1 z_2 \overline{z_1 z_2} = z_1 z_2 \bar{z}_1 \bar{z}_2 = z_1 \bar{z}_1 z_2 \bar{z}_2 = |z_1|^2 |z_2|^2$$

ou melhor,

$$|z_1 z_2| = |z_1| |z_2|$$

### 1.3 Funções Complexas de Variável complexa

**Definição 1.3.** Uma função complexa é uma função  $f$  cujos o domínio e imagem são subconjuntos do conjunto de números complexo  $\mathbb{C}$ . Então  $w$  é uma função da variável complexa  $z$  no conjunto  $S$ .

Cada função  $w = f(z)$  é uma variável complexa  $z = x + iy$  estão associadas duas funções reais das variáveis reais  $x$  e  $y$ , dadas por  $u = u(x, y) = \text{Re}f(z)$  e  $v = v(x, y) = \text{Im}f(z)$ .

**Exemplo 1.4.** Determine a parte real e imaginária da função:

$$w = z^2 - 5z + 3.$$

**Solução:** Como  $z = x + iy$ , então temos:

$$\begin{aligned} f(z) &= (x + iy)^2 - 5(x + iy) + 3 \\ f(z) &= (x^2 + 2xiy - y^2) - 5x - 5iy + 3 \\ f(z) &= (x^2 - y^2 - 5x + 3) + (2xy - 5y)i \end{aligned}$$

logo a parte real e imaginária é:

$$\text{Re}(z) = u(x, y) = (x^2 - y^2 - 5x + 3) \text{ e } \text{Im}(z) = v(x, y) = (2xy - 5y). \quad \blacksquare$$

## 1.4 Limite Complexos

**Definição 1.5.** Dado um número  $z_0 \in A$ , dizemos que o número  $L \in \mathbb{C}$  é o limite de  $f$  quando  $z \in A$  tende a  $z_0$  se, dado qualquer número  $\epsilon > 0$  existe  $\delta > 0$  tal que

$$z \in D, 0 < |z - z_0| < \delta \Rightarrow |f(z) - L| < \epsilon;$$

ou ainda, de maneira equivalente:

$$z \in D \cap V'_\delta(z_0) \Rightarrow f(z) \in V_\epsilon(L).$$

Podemos escrever:

$$\lim_{z \rightarrow z_0} f(z) = L.$$

Sendo essa definição formalmente a mesma que damos para funções  $\mathbb{R}$ , ela se reduz a este caso quando todos números envolvidos são  $\mathbb{R}$ .

**Exemplo 1.6.** Mostre que  $\lim_{z \rightarrow 2i} (z^2 + 3z) = -4 + 6i$ .

**Solução:** Utilizando a definição (1.5), então vamos mostrar que  $\lim_{z \rightarrow 2i} (z^2 + 3z) = -4 + 6i$ . De fato, temos:

$$\begin{aligned} |(z^2 + 3z) - (-4 + 6i)| &= |(z^2 + 4) + 3(z - 2i)| \\ &= |(z - 2i)(z + 2i) + 3(z - 2i)| \\ &= |z - 2i||z + 2i| \leq |z - 2i|(|z| + |3| + |2i|) \\ &= |z - 2i|(|z| + 5). \end{aligned}$$

Note que  $z$  ficará restrito a uma vizinhança de  $2i$ , então temos: supondo  $|z| < 3$ , portanto  $|(z^2 + 3z) - (-4 + 6i)| \leq 8|z - 2i|$ . Então como podemos observar que a última expressão tem que ser  $<$  que  $\epsilon$ , de modo que  $|z - 2i| < \frac{\epsilon}{8}$ , isto é para todo  $\epsilon > 0$ , logo vamos tomar  $\delta = \frac{\epsilon}{8}$ , se tomarmos  $\delta < 1$ , a condição será satisfeita como podemos observar na figura (1.2) então temos pela a desigualdade triangular segue:

$$|z| = |(z - 2i) + 2i| \leq |z - 2i| + 2 \leq \delta + 2 < 1 + 2 = 3.$$

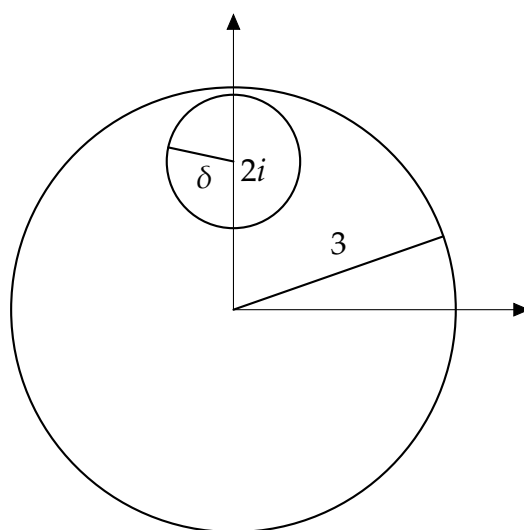


Figura 1.2 – Para  $\delta < 1$   
Fonte: Próprio autor

Logo podemos concluir que  $\delta$  deve ser o menor dos números  $1$  e  $\frac{\epsilon}{8}$ , então o exercício está mostrado.

$$|z - 2i| < \delta \Rightarrow |(z^2 + 3z) - (-4 + 6i)| < \epsilon.$$

■

No caso de funções de variável real, pode-se adaptar de maneira muito simples pela a Definição (1.5) podemos adaptara ao caso em que  $z$  ou  $f(z)$  tende a infinito, no qual resultará nas seguintes definições.

**Definição 1.7.** Diz-se que uma função  $f(z)$  com domínio  $D$  tem limite finito  $L$  com  $z \rightarrow \infty$  se, dado qualquer  $\epsilon > 0$ , existe  $M > 0$  tal que  $|f(z) - L| < \epsilon \forall z \in D, |z| > M$ .

Diz-se que  $f(z)$  tende a infinito com  $z$  tendendo a  $z_0$  se, dado qualquer  $K > 0$ , existe  $\delta > 0$  tal que  $|f(z)| > K \forall z \in D \cap V'_\delta(z_0)$ .

Diz-se que  $f(z)$  tende a infinito com  $z$  tendendo a infinito se, dado qualquer  $K > 0$ , existe  $M > 0$  tal que  $|f(z)| > K \forall z \in D, |z| > M$ .

**Exemplo 1.8.** Mostre que  $f(z) = \frac{3iz + 5}{2z - i} \rightarrow \frac{3i}{2}$  com  $z \rightarrow \infty$ .

**Solução:** De fato temos,

$$\begin{aligned} \left| f(z) - \frac{3i}{2} \right| &= \left| \frac{3iz + 5}{2z - i} - \frac{3i}{2} \right| \\ &= \left| \frac{2(3iz + 5) - 3i(2z - i)}{2(2z - i)} \right| \\ &= \left| \frac{6iz + 10 - 6iz - 3}{2(z - 2i)} \right| \\ &= \frac{7}{2|2z - i|} \leq \frac{7}{2(2|z| - 1)}. \end{aligned}$$

Note que essa última desigualdade, só será satisfeita se  $|z| > \frac{1}{2}$ , é o que vamos supor a partir de agora. É importante observar

$$\left| f(z) - \frac{3i}{2} \right| \leq \frac{7}{2(2|z| - 1)} < \epsilon,$$

se  $|z| > \frac{1}{2} \left( \frac{7}{2\epsilon} + 1 \right)$ .

Logo temos;  $M = \max \left\{ \frac{1}{2}, \frac{1}{2} \left( \frac{7}{2\epsilon} + 1 \right) \right\}$ .

Então, temos o resultado:

$$|z| > M \Rightarrow \left| f(z) - \frac{3i}{2} \right| < \epsilon. \quad \blacksquare$$

### 1.4.1 Propriedades de Limites Complexos

Sejam  $f$  e  $g$  funções complexas. Se o  $\lim_{z \rightarrow z_0} f(z) = L$  e  $\lim_{z \rightarrow z_0} g(z) = M$ , então

1.  $\lim_{z \rightarrow z_0} cf(z) = cL$ ,  $c$  é uma constante complexa
2.  $\lim_{z \rightarrow z_0} (f(z) \pm g(z)) = L \pm M$
3.  $\lim_{z \rightarrow z_0} f(z) \cdot g(z) = L \cdot M$
4.  $\lim_{z \rightarrow z_0} \frac{f(z)}{g(z)} = \frac{L}{M}$ , desde que  $M \neq 0$

## 1.5 Continuidade Complexa

**Definição 1.9.** Continuidade de uma função complexa Uma função complexa  $f$  é contínua em um ponto  $z_0$  se

$$\lim_{z \rightarrow z_0} f(z) = f(z_0).$$

Como no caso de funções reais, se uma função complexa  $f$  for contínua em um ponto as três condições a seguir devem ser atendidas.

## Critério para Continuidade em um Ponto

Uma função complexa  $f$  é contínua em um ponto  $z_0$  se cada uma das três condições abaixo forem atendidas.

1.  $\lim_{z \rightarrow z_0} f(z)$  existe,
2.  $f$  é definida em  $z_0$
3.  $\lim_{z \rightarrow z_0} f(z) = f(z_0)$ .

### Teorema 1.10. Propriedades de Funções Complexas

Se  $f$  e  $g$  são contínuas no ponto  $z_0$  as seguintes funções são contínuas no ponto  $z_0$ :

1.  $cf$ ,  $c$  é uma constante complexa,
2.  $f \pm g$ ,
3.  $f \cdot g$
4.  $\frac{f}{g}$ , desde que  $g \neq 0$ .

## 1.6 Derivação e Analiticidade

### Definição 1.11. Derivada de uma Função Complexa

Seja a função complexa  $f$  é definida em uma vizinhança de um ponto  $z_0$ . A derivada de  $f$  em  $z_0$ , denotada por  $f'(z_0)$ , é

$$f'(z_0) = \lim_{\Delta z \rightarrow 0} \frac{f(z_0 + \Delta z) - f(z_0)}{\Delta z}, \quad (1.9)$$

desde que este limite exista.

Se o limite em (1.9) existir, a função  $f$  é diferenciável em  $z_0$ . Dois outros símbolos que denotam a derivada de  $w = f(z)$  são  $w'$  e  $\frac{dw}{dz}$ . Quando esta última notação é utilizada, o valor de uma derivada em um ponto específico  $z_0$  é escrito como  $\left. \frac{dw}{dz} \right|_{z=z_0}$

## Regras de Diferenciação

As familiares regras de diferenciação no cálculo com variáveis reais se aplicam ao cálculo com variáveis complexas. Se  $f$  e  $g$  forem diferenciáveis em um ponto  $z$  e  $c$  for uma constante complexa, (1.9) pode ser usada para mostrar:

### Regras de Diferenciação

1. Regras Envolvendo Constantes:  $\frac{d}{dz} [cf(z)] = cf'(z)$
2. Regra para Soma:  $\frac{d}{dz} [f(z) \pm g(z)] = f'(z) \pm g'(z)$
3. Regra para o Produto:  $\frac{d}{dz} [f(z)g(z)] = f(z)g'(z) + f'(z)g(z)$
4. Regra do Quociente:  $\frac{d}{dz} \left[ \frac{f(z)}{g(z)} \right] = \frac{g(z)f'(z) - f(z)g'(z)}{[g(z)]^2}$
5. Regra da Cadeia:  $\frac{d}{dz} f(g(z)) = f'(g(z))g'(z)$ .
6. A regra de potência para a diferenciação de potência de  $z$  também é válida:  
 $\frac{d}{dz} z^n = nz^{n-1}$ ,  $n$  inteiro.
7. A combinação de (6) e (5) resulta na regra de potências para funções:  $\frac{d}{dz} [g(z)]^n = n [g(z)]^{n-1} g'(z)$ ,  $n$  inteiro.

### Definição 1.12. Analiticidade em um ponto

Uma função complexa  $w = f(z)$  é analítica em um ponto  $z_0$  se  $f$  for diferenciável em  $z_0$  e em todo ponto em alguma vizinhança de  $z_0$ .

**Observação 1.13.** Uma função  $f$  é analítica em um domínio  $D$  se for analítica em todo ponto em  $D$ . Então uma função  $f$  que é analítica em todo um domínio  $D$  é denominada **holomórfica** ou **regular**.

## 1.7 Equação de Cauchy-Riemann

Veremos a seguir o teorema que mostra se uma função  $f(z) = u(x, y) + iv(x, y)$  for diferenciável em um ponto  $z$ , as funções  $u$  e  $v$  devem satisfazer um par de equações que relacionam suas derivadas parciais de primeira ordem.

**Teorema 1.14.** *Suponhamos que  $f(z) = u(x, y) + iv(x, y)$  seja diferenciável em um ponto  $z = x + iy$ . Então, em  $z$  as derivadas parciais de primeira ordem de  $u$  e  $v$  devem satisfazer as Equações de Cauchy-Riemann*

$$\frac{\partial u}{\partial x} = \frac{\partial v}{\partial y} \quad e \quad \frac{\partial u}{\partial y} = -\frac{\partial v}{\partial x}. \quad (1.10)$$

A demonstração pode ser vista em (DENNIS; SHANAHAN, 1940).

O próximo resultado mostra uma condição necessária e suficiente para existência em derivada complexa.

**Teorema 1.15.** *Sejam  $u$  e  $v$  funções reais e univalentes de  $x$  e  $y$  as quais, juntamente com derivadas parciais de primeiras, são contínuas num ponto  $(x_0, y_0)$ . Se essas derivadas parciais satisfazem às condições de Cauchy-Riemann nesse ponto, então a derivada  $f'(z_0)$  da função  $f = u + iv$  existe, sendo  $z = x + iy$  e  $z_0 = x_0 + iy_0$ .*

**Demonstração:** A necessidade da condição é demonstrada pelas as equações de Cauchy-Riemann, então agora basta provar que a condição é suficiente.

Suponhamos a continuidade das derivadas parciais

$$\frac{\partial u}{\partial x} = \frac{\partial v}{\partial y} \quad e \quad \frac{\partial u}{\partial y} = -\frac{\partial v}{\partial x}.$$

Em  $D_\epsilon(z_0)$ , com  $z_0 = x_0 + iy_0$ , temos que  $\Delta z = \Delta x + i\Delta y$ , com  $0 < |\Delta z| < \epsilon$ , e  $\Delta f = \Delta u + i\Delta v$ . Como  $u$  e suas derivadas parciais primeiras são contínuas em  $(x_0, y_0)$ , todas elas estão definidas numa certa vizinhança desse ponto. Quando  $(x_0 + \Delta x, y_0 + \Delta y)$  é um ponto na vizinhança, então temos,

$$\begin{aligned} \Delta u &= u(x_0 + \Delta x, y_0 + \Delta y) - u(x_0, y_0) \\ &= u(x_0 + \Delta x, y_0 + \Delta y) - u(x_0, y_0 + \Delta y) + u(x_0, y_0 + \Delta y) - u(x_0, y_0). \end{aligned}$$

Como  $\frac{\partial u}{\partial x}$  é contínua, pelo T.V.M, existe  $x_1 \in ]x_0, x_0 + \Delta x[$  tal que.

$$\Delta u = u(x_0 + \Delta x, y_0 + \Delta y) - u(x_0, y_0 + \Delta y) = \frac{\partial u}{\partial x}(x_1, y_0 + \Delta y) \Delta x.$$

Daí temos que

$$\Delta u = \frac{\partial u}{\partial x}(x_1, y_0 + \Delta y) \Delta x + u(x_0, y_0 + \Delta y) - u(x_0, y_0).$$

Note que pela a continuidade das derivadas parciais, existe um número  $\epsilon_1$  tal que

$$\frac{\partial u}{\partial x}(x_1, y_0 + \Delta y) = \frac{\partial u}{\partial x}(x_0, y_0) + \epsilon_1.$$

Observe quando  $\Delta x \rightarrow 0$  em  $]x_0, x_0 + \Delta x[$  implica  $x_1 \rightarrow x_0$  e  $\Delta y \rightarrow 0 \implies \epsilon_1 \rightarrow 0$ .  
Então vamos reescrever a equação

$$u(x_0 + \Delta x, y_0 + \Delta y) - u(x_0, y_0 + \Delta y) = \left[ \frac{\partial u}{\partial x}(x_0, y_0) + \epsilon_1 \right] \Delta x.$$

De maneira análoga podemos obter um número  $\epsilon_2$  de modo que

$$u(x_0, y_0 + \Delta y) - u(x_0, y_0) = \left[ \frac{\partial u}{\partial y}(x_0, y_0) + \epsilon_2 \right] \Delta y, \text{ onde } \epsilon_2 \rightarrow 0, \text{ quando } \Delta y \rightarrow 0.$$

Logo podemos escrever o  $\Delta u$  na forma,

$$\Delta u = \left[ \frac{\partial u}{\partial x}(x_0, y_0) + \epsilon_1 \right] \Delta x + \left[ \frac{\partial u}{\partial y}(x_0, y_0) + \epsilon_2 \right] \Delta y,$$

então

$$\Delta u = \frac{\partial u}{\partial x} \Delta x + \frac{\partial u}{\partial y} \Delta y + \epsilon_1 \Delta x + \epsilon_2 \Delta y,$$

onde  $\frac{\partial u}{\partial x}$  e  $\frac{\partial u}{\partial y}$ , são valores das derivadas parciais no ponto  $(x_0, y_0)$ , onde  $\epsilon_1$  e  $\epsilon_2$  se aproximam de zero quando  $\Delta x$  e  $\Delta y$  tendem ambos para zero.

De maneira análogo podemos escrever para  $\Delta v$

Portanto;

$$\Delta v = \frac{\partial v}{\partial x} \Delta x + \frac{\partial v}{\partial y} \Delta y + \epsilon_3 \Delta x + \epsilon_4 \Delta y.$$

Segue

$$\begin{aligned} \Delta f &= f(z_0 + \Delta z) - f(z_0) \\ &= \Delta u + i\Delta v \\ &= \frac{\partial u}{\partial x} \Delta x + \epsilon_1 \Delta x + \frac{\partial u}{\partial y} \Delta y + \epsilon_2 \Delta y + i \left( \frac{\partial v}{\partial x} \Delta x + \epsilon_3 \Delta x + \frac{\partial v}{\partial y} \Delta y + \epsilon_4 \Delta y \right). \end{aligned}$$

Agora vamos utilizar a hipótese de que as condições de Cauchy-Riemann devem está satisfeitas no ponto  $(x_0, y_0)$ . Podemos substituir  $\frac{\partial u}{\partial y}$  por  $-\frac{\partial v}{\partial x}$  e  $\frac{\partial v}{\partial y}$  por  $\frac{\partial u}{\partial x}$ , então vamos escrever na seguinte forma

$$\begin{aligned} \Delta f &= \frac{\partial u}{\partial x} \Delta x - \frac{\partial v}{\partial x} \Delta y + \epsilon_1 \Delta x + \epsilon_2 \Delta y + i \left( \frac{\partial v}{\partial x} \Delta x + \frac{\partial u}{\partial x} \Delta y + \epsilon_3 \Delta x + \epsilon_4 \Delta y \right) \\ &= \frac{\partial u}{\partial x} (\Delta x + i\Delta y) + i \frac{\partial v}{\partial x} (\Delta x + i\Delta y) + \delta_1 \Delta x + \delta_2 \Delta y, \end{aligned}$$

onde  $\delta_1$  e  $\delta_2$  tendem para zero quando  $\Delta z$  se aproxima de zero ( $\Delta z = \Delta x + i\Delta y$ ).

Logo

$$\frac{\Delta f}{\Delta z} = \frac{\partial u}{\partial x} + i \left( \frac{\partial v}{\partial x} \right) + \delta_1 \frac{\Delta x}{\Delta z} + \delta_2 \frac{\Delta y}{\Delta z}.$$

Como

$$|\Delta x| \leq |\Delta z| \text{ e } |\Delta y| \leq |\Delta z|, \text{ vem } \frac{\Delta x}{\Delta z} \leq 1, \text{ assim como } \frac{\Delta y}{\Delta z} \leq 1.$$

Daí temos os dois últimos termos no segundo membro em  $\delta_1 \frac{\Delta x}{\Delta z} + \delta_2 \frac{\Delta y}{\Delta z}$  tendem para zero com  $\Delta z$ . Portanto, no ponto  $z_0$ , logo

$$f'(z) = \lim_{\Delta z \rightarrow 0} \frac{\Delta f}{\Delta z} = \frac{\partial u}{\partial x} + i \frac{\partial v}{\partial x},$$

isto é, a derivada existe, e o teorema está demonstrado. ■

De maneira análogo podemos encontrar

$$f'(z_0) = v_y(z_0) - iu_y(z_0).$$

## 2 Integração no Plano Complexo

Neste capítulo apresentaremos Integração no plano complexos, definições, propriedades, principais teoremas e alguns exemplos. No qual este capítulo servirá de base para demonstração do teorema de Cauchy-Goursat. Neste Capítulo 2 usamos as referências (ÁVILA, 1993), (DENNIS; SHANAHAN, 1940) e (STEWART, 2013)

### 2.1 Definições

#### Definição 2.1. *Integral Complexa*

A integral complexa de  $f$  em  $C$  é

$$\int_C f(z) dz = \lim_{\|p\| \rightarrow 0} \sum_{k=1}^n f(z_k^*) \Delta z_k. \quad (2.1)$$

Se o limite em (2.1) existir, dizemos que  $f$  é **integrável** em  $C$ . O limite existe sempre que  $f$  for contínua em todos os pontos de  $C$  e  $C$  for uma curva suave ou suave por partes. Além disso, usaremos a seguinte notação  $\oint_C f(z) dz$  para representar uma integral complexa ao longo de uma curva fechada  $C$  **orientação positiva**. Quando for importante salientar a direção de integração ao longo de uma curva fechada, empregaremos as seguintes notações

$$\oint_C^+ f(z) dz \quad e \quad \oint_C^- f(z) dz$$

para representar integrações nos sentidos positivos e negativo, respectivamente.

Percebendo que a Definição (2.1) é formalmente igual à definição de integrais reais pode ser vista em (DENNIS; SHANAHAN, 1940), passaremos a nos referir à integral complexa  $\int_C f(z) dz$  pela a denominação mais comum de **integral de contorno**.

#### 2.1.1 Cálculo de integrais de contorno

Uma boa maneira de entender, é saber calcular uma integral de contorno, então  $\int_C f(z) dz$ , então vamos escrever, (2.1) de maneira simples.

$$\int_C f(z) dz = \int_a^b f(z(t))z'(t)dt. \quad (2.2)$$

Como pode ser vista em (DENNIS; SHANAHAN, 1940). Para melhor entendimento veja o exemplo abaixo.

**Exemplo 2.2.** Calcule a integral  $\int_C \bar{z} dz$ , onde  $C$  é parametrizada por  $z(t) = 2t + it^3$ ,  $1 \leq t \leq 3$ .

**Solução:** Dado  $f(z) = \bar{z}$ , daí temos  $f(z(t)) = \overline{2t + it^3} = 2t - it^3$ , e calculando a derivada de  $z(t) = 2t + it^3$

temos:

$$z'(t) = 2 + 3it^2$$

assim,  $\int_C f(z) dz = \int_a^b f(z(t))z'(t)dt$ , a integral fica escrita como,

$$\begin{aligned} \int_C \bar{z} dz &= \int_1^3 (2t - it^3)(2 + 3it^2)dt \\ &= \int_1^3 (4t + 6it^3 - 2it^3 + 3t^5)dt \\ &= \int_1^3 (3t^5 + 4t + 4it^3)dt. \end{aligned}$$

Tomando

$$\int_a^b f(t)dt = \int_a^b f_1(t)dt + i \int_a^b f_2(t)dt,$$

logo temos que

$$\begin{aligned} \int_C \bar{z} dz &= \int_1^3 (3t^5 + 4t) dt + i \int_1^3 4t^3 dt \\ &= \left[ \frac{3t^6}{6} + \frac{4t^2}{2} \right]_1^3 + i \left[ \frac{4t^4}{4} \right]_1^3 \\ &= 380 + 80i. \end{aligned}$$

■

## 2.2 Propriedades da integral

1.  $\int_C cf(z) dz = c \int_C f(z) dz$ , sendo  $c$  uma constante complexa.
2.  $\int_C f_1(z) dz + f_2(z) dz = \int_C f_1(z) dz + \int_C f_2(z) dz$ .

$$3. \int_{C_1 \cup \dots \cup C_r} f(z) dz = \int_{C_1} f(z) dz + \dots + \int_{C_r} f(z) dz.$$

$$4. \int_{-C} f(z) dz = - \int_C f(z) dz, \text{ onde } -C \text{ denota a curva com orientação oposta à de } C.$$

$$5. \left| \int_C f(z) dz \right| \leq \int_C |f(z)| |dz|.$$

**Observação 2.3.** As propriedades, (1) e (2) é de fácil verificação, as propriedades, (3), (4) e (5) podem ser vista em (ÁVILA, 1993).

**Exemplo 2.4.** Calcule  $\int_C (x^3 + iy^2) dz$ , onde  $C$  é o contorno mostrado na figura abaixo.

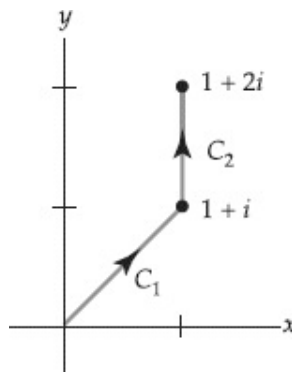


Figura 2.1 – O contorno  $C$  é suave por partes  
 Fonte: (DENNIS; SHANAHAN, 1940).

**Solução:** Utilizando a propriedade (3) então temos,

$$\int_C (x^3 + iy^2) dz = \int_{C_1} (x^3 + iy^2) dz + \int_{C_2} (x^3 + iy^2) dz,$$

como podemos observar que  $C_1$  definida por  $y = x = 1$ , e seus intervalos em,  $0 \leq x \leq 1$ , e escrevendo  $x$  como parâmetro.

Logo temos uma parametrização

$$z(x) = x + ix,$$

daí  $z'(x) = 1 + i$ , temos  $f(z) = (x^3 + iy^2)$  então podemos escrever,  $f(z(x)) = x^3 + ix^2$ .

Logo,

$$\begin{aligned}
 \int_{C_1} (x^3 + iy^2) dz &= \int_0^1 (x^3 + iy^2)(1 + i) dx \\
 &= \int_0^1 (x^3 + ix^3 + ix^2 - x^2) dx \\
 &= \left. \frac{x^4}{4} + i\frac{x^4}{4} + i\frac{x^3}{3} - \frac{x^3}{3} \right|_0^1 \\
 &= \frac{1}{4} + \frac{i}{4} + \frac{i}{3} - \frac{1}{3} - 0 \\
 &= \frac{3}{12} + \frac{3i}{12} + \frac{4i}{12} - \frac{4}{12} \\
 &= -\frac{1}{12} + \frac{7i}{12}.
 \end{aligned} \tag{2.3}$$

A curva  $C_2$  é definida por  $x = 1$ , seus intervalos em,  $1 \leq y \leq 2$  e escrevendo  $y$  como parâmetro.

Logo obtemos,

$$z(y) = 1 + iy$$

, daí  $z'(y) = i$ , temos  $f(z) = (x^3 + iy^2)$ , então podemos escrever,  $f(z(y)) = 1 + iy^2$ .

Logo,

$$\begin{aligned}
 \int_{C_1} (x^3 + iy^2) dz &= \int_1^2 (1 + iy^2)i dy \\
 &= \int_1^2 (i - y^2) dy \\
 &= \left. iy - \frac{y^3}{3} \right|_1^2 \\
 &= 2i - \frac{2^3}{3} - \left( i - \frac{1^3}{3} \right) \\
 &= -\frac{8}{3} + \frac{1}{3} + 2i - i \\
 &= -\frac{7}{3} + i.
 \end{aligned} \tag{2.4}$$

Somando (2.3) com (2.4) temos,

$$\begin{aligned}
 \int_{C_1} (x^3 + iy^2) dz &= -\frac{1}{12} + \frac{7i}{12} + \left( -\frac{7}{3} + i \right) \\
 &= -\frac{1}{12} - \frac{7}{3} + \frac{7i}{12} + i \\
 &= -\frac{29}{12} + \frac{19}{12}i.
 \end{aligned}$$

■

## 2.3 Principais teoremas

O próximo teorema a sua demonstração não é simples, então vamos mostrar um caso geral para,

$$\iint_D \left( \frac{\partial Q}{\partial x} - \frac{\partial P}{\partial y} \right) dA = \int_{\partial D} P dx + Q dy,$$

para isso mostraremos para o caso especial onde a região é tanto do tipo I como de tipo II.

### Região do tipo I

Se  $f$  é contínua em uma região  $D$  do tipo I tal que

$$D = \{(x, y) | a \leq x \leq b, g_1(x) \leq y \leq g_2(x)\} \text{ então,}$$

$$\iint_D f(x, y) dA = \int_a^b \int_{g_1(x)}^{g_2(x)} f(x, y) dy dx. \quad (2.5)$$

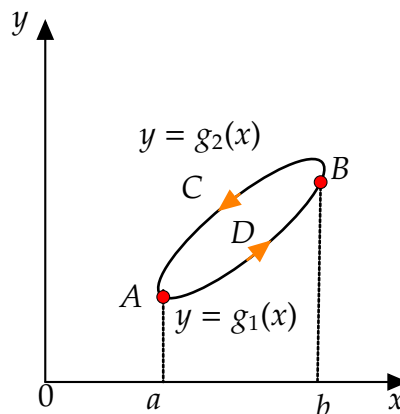


Figura 2.2 – Curva tipo I  
Fonte: Próprio autor

### Região do tipo II

Considerando região plana do tipo II,

$$D = \{(x, y) | c \leq y \leq d, h_1(y) \leq x \leq h_2(y)\} \text{ onde, } h_1 \text{ e } h_2 \text{ são contínuas .}$$

Então,

$$\iint_D f(x, y) dA = \int_c^d \int_{h_1(y)}^{h_2(y)} f(x, y) dx dy. \quad (2.6)$$

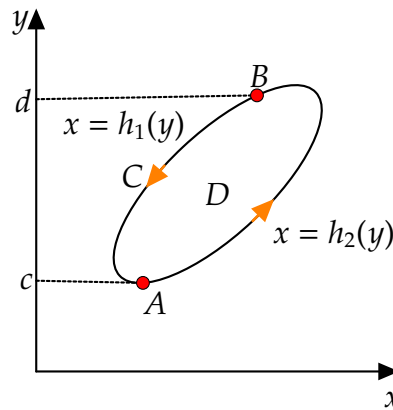


Figura 2.3 – Curva tipo II  
Fonte: Próprio autor

Como já sabemos, o que é uma região do tipo (I e II), então vamos mostrar o próximo teorema.

### 2.3.1 Teorema de Green

**Teorema 2.5.** *Seja C uma curva plana simples, fechada, contínua por trechos, orientada positivamente, e seja D a região delimitada por C. Se P e Q têm derivadas parciais de primeira ordem contínuas sobre uma região aberta que contenha D, então*

$$\int_C P dx + Q dy = \iint_D \left( \frac{\partial Q}{\partial x} - \frac{\partial P}{\partial y} \right) dA \quad (2.7)$$

**Demonstração.** Considere nos casos onde D é uma região simples, então o **Teorema de Green** estará demonstrada se mostrarmos

$$\int_C P dx = - \iint_D \frac{\partial P}{\partial y} dA. \quad (2.8)$$

$$\int_C Q dy = \iint_D \frac{\partial Q}{\partial x} dA. \quad (2.9)$$

Vamos demonstrar (2.8) exprimindo D como uma região do tipo I:

$$D = \{(x, y) | a \leq x \leq b, g_1(x) \leq y \leq g_2(x)\},$$

onde  $g_1(x)$  e  $g_2(x)$  são funções contínuas.

Para provar a equação (2.8), vamos referir a figura (2.2), note que C consiste em duas curvas  $C_1$  e  $C_2$  que possuem as equações  $y = g_1(x)$  e  $y = g_2(x)$ , respectivamente.

Daí:

$$\begin{aligned} \int_C P dx &= \int_{C_1} P(x, y) dx + \int_{C_2} P(x, y) dx \\ &= \int_a^b P(x, g_1(x)) dx + \int_a^b P(x, g_2(x)) dx \\ &= \int_a^b P(x, g_1(x)) dx - \int_a^b P(x, g_2(x)) dx. \end{aligned}$$

Aplicando a figura (2.2) à integral dupla  $\iint_D \frac{\partial P}{\partial y} dA$  nos dá,

$$\begin{aligned} \iint_D \frac{\partial P}{\partial y} dA &= \int_a^b \int_{g_1(x)}^{g_2(x)} \frac{\partial P}{\partial y} dy dx \\ &= \int_a^b P(x, y) \Big|_{g_1(x)}^{g_2(x)} dx. \\ &= \int_a^b [P(x, g_2(x)) - P(x, g_1(x))] dx. \end{aligned}$$

Comparando essa expressão com a da equação (2.8), vemos que

$$\int_C P(x, y) dx = - \iint_D \frac{\partial P}{\partial y} dA.$$

Também temos de maneira análoga, vamos demonstrar (2.9) exprimindo  $D$  como uma região do tipo II:

$$D = \{(x, y) | c \leq y \leq d, h_1(y) \leq x \leq h_2(y)\},$$

onde  $h_1(y)$  e  $h_2(y)$  são funções contínuas.

Para provar a equação (2.9), vamos referir a figura (2.3), note que  $C$  consiste em duas curvas  $C_1$  e  $C_2$  que possuem as equações  $x = h_1(y)$  e  $x = h_2(y)$ , respectivamente.

$$\begin{aligned} \int_C Q dy &= \int_{C_1} Q(x, y) dy + \int_{C_2} Q(x, y) dy \\ &= \int_c^d Q(h_1(y), y) dy + \int_c^d Q(h_2(y), y) dy \\ &= \int_c^d Q(h_2(y), y) dy - \int_c^d Q(h_1(y), y) dy. \end{aligned}$$

Aplicando a figura (2.3) à integral dupla  $\iint_D \frac{\partial Q}{\partial x} dA$  nos dá,

$$\begin{aligned} \iint_D \frac{\partial Q}{\partial x} dA &= \int_c^d \int_{h_1(y)}^{h_2(y)} \frac{\partial Q}{\partial x} dx dy \\ &= \int_c^d Q(x, y) \Big|_{h_1(y)}^{h_2(y)} dy. \\ &= \int_c^d [Q(y, h_2(y)) - Q(y, h_1(y))] dy. \end{aligned}$$

Comparando essa expressão com a da equação (2.9), vemos que

$$\int_C Q(x, y) dy = \iint_D \frac{\partial Q}{\partial x} dA.$$

Portanto temos que:

$$\int_C P dx + Q dy = \iint_D \left( \frac{\partial Q}{\partial x} - \frac{\partial P}{\partial y} \right) dA,$$

logo o **Teorema de Green** está demonstrado. ■

Conforme podemos ver (2.5), o próximo resultado caracteriza uma propriedade importante das **funções analíticas** definidas em domínios **Simplemente Conexos**, que veremos no capítulo (3').

### 2.3.2 Teorema de Cauchy

**Teorema 2.6.** *Seja  $f$  uma função analítica em um domínio simplesmente conexo  $D$ , e seja  $f'$  contínua em  $D$ . Então, para todo contorno fechado simples  $C$  em  $D$ ,*

$$\int_C f(z) dz = 0.$$

*Prova dada por Cauchy.* A prova deste teorema é imediata a consequência do teorema de Grenn no plano e das equações de Cauchy-Riemann. Recordando (2.5), assumindo que  $f'$  é contínua em todo domínio  $D$ . Em consequência, as partes real e imaginária de  $f(z) = u + iv$  e suas derivadas parciais de primeira ordem são contínuas em todo domínio  $D$ . Utilizando  $\int_C f(z) dz = \int_C u dx - v dy + i \int_C v dx + u dy$ , podemos escrever  $\int_C f(z) dz$  em termos de integrais de linhas reais; aplicando o teorema de Grenn (2.7) a cada integral de linha, temos:

$$\begin{aligned} \int_C f(z) dz &= \int_C u(x, y) dx - v(x, y) dy + i \int_C v(x, y) dx + u(x, y) dy \\ &= \iint_D \left( -\frac{\partial v}{\partial x} - \frac{\partial u}{\partial y} \right) dA + i \iint_D \left( \frac{\partial u}{\partial x} - \frac{\partial v}{\partial y} \right) dA, \end{aligned} \quad (2.10)$$

mostramos que como  $f'$  é analítica em  $D$ , as funções reais  $u$  e  $v$  satisfazem as condições de Cauchy-Riemann, (1.10), em cada ponto em  $D$ . Vamos utilizar as equações de Cauchy-Riemann para substituir  $\frac{\partial u}{\partial y}$  e  $\frac{\partial u}{\partial x}$  em (2.10), daí.

$$\begin{aligned} \int_C f(z) dz &= \iint_D \left( -\frac{\partial v}{\partial x} - \frac{\partial u}{\partial y} \right) dA + i \iint_D \left( \frac{\partial u}{\partial x} - \frac{\partial v}{\partial y} \right) dA \\ &= \iint_D \left( -\frac{\partial v}{\partial x} - \left( -\frac{\partial v}{\partial x} \right) \right) dA + i \iint_D \left( \frac{\partial v}{\partial y} - \frac{\partial v}{\partial y} \right) dA \\ &= \iint_D \left( -\frac{\partial v}{\partial x} + \frac{\partial v}{\partial x} \right) dA + i \iint_D (0) dA \\ &= \iint_D (0) dA + i \iint_D (0) dA \\ &= 0 \end{aligned}$$

Portanto

$$\int_C f(z) dz = 0.$$

Com isso conclui o Teorema de Cauchy. ■

Agora vamos mostrar alguns exemplos com os resultados dos teoremas acima:

**Exemplo 2.7.** Mostre que  $\oint_C f(z) dz = 0$ , onde  $f$  é a função dada e  $C$ , a circunferência unitária  $|z| = 1$ .

a)  $f(z) = z^3 - 1 + 3i$

**Solução:** Temos que  $z = x + iy$  e o raio  $r = 1$  na figura (2.4), então,

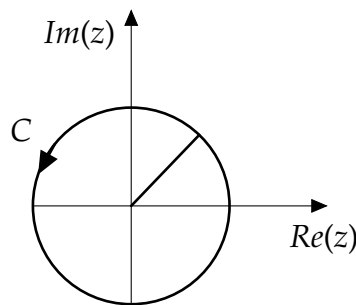


Figura 2.4 – Circunferência onde  $r = 1$   
Fonte: Próprio autor

$$\begin{aligned} f(z) &= (x + iy)^3 - 1 + 3i \\ &= x^3 - 3xy^2 - 1 + 3ix^2y - iy^3 + 3i \\ &= x^3 - 3xy^2 - 1 + i(3x^2y - y^3 + 3). \end{aligned}$$

Segue que,  $Re(z) = u(x, y) = x^3 - 3xy^2 - 1$  e  $Im(z) = 3x^2y - y^3 + 3$ .  
Pelas as condições de Cauchy-Riemann (1.10):

$$\begin{aligned} \frac{\partial u}{\partial x} &= 3x^2 - 3y^2 \quad e \quad \frac{\partial u}{\partial y} = -6xy \\ \frac{\partial v}{\partial y} &= 3x^2 - 3y^2 \quad e \quad \frac{\partial v}{\partial x} = 6xy, \end{aligned}$$

temos:

$$\begin{aligned} \frac{\partial u}{\partial x} &= 3x^2 - 3y^2 = \frac{\partial v}{\partial y} \\ \frac{\partial u}{\partial y} &= -6xy = \frac{\partial v}{\partial x}. \end{aligned}$$

Logo as condições de Cauchy-Riemann está satisfeita, então  $f(z)$  é analítica em todos pontos, e pelo Teorema de Cauchy.

$$\oint_C f(z) dz = 0. \quad \blacksquare$$

$$b) f(z) = z^2 + z$$

**Solução:** Temos que  $z = x + iy$  e o raio  $r = 1$  na figura (2.4), então,

$$\begin{aligned} f(z) &= (x + iy)^2 + x + iy \\ &= x^2 + 2ixy - y^2 + x + iy \\ &= x^2 + x - y^2 + i(2xy + y). \end{aligned}$$

Segue que  $\operatorname{Re}(z) = u(x, y) = x^2 + x - y^2$  e  $\operatorname{Im}(z) = 2xy + y$ .

Pelas as condições de Cauchy-Riemann (1.10):

$$\begin{aligned} u_x &= 2x + 1 \quad e \quad v_x = 2y \\ u_y &= -2y \quad e \quad v_y = 2x + 1. \end{aligned}$$

Como

$$u_x = 2x + 1 = v_y \quad e \quad u_y = -2y = v_x$$

Logo as condições de Cauchy-Riemann está satisfeita, então  $f(z)$  é analítica em todos pontos, e pelo Teorema de Cauchy.

$$\oint_C f(z) dz = 0.$$

■

## 3 Teorema de Cauchy-Goursat e Aplicações

Neste capítulo apresentaremos domínios simplesmente conexo e multiplamente conexo, exemplos, bem como, o caso geral do Teorema de Cauchy-Goursat e algumas aplicações. Neste Capítulo usamos as referências (DENNIS; SHANAHAN, 1940), (SOARES, 2003) e (LIMA, 1983).

### 3.1 Domínio simplesmente conexo e multiplamente conexo

Podemos dizer que um domínio  $D$  é simplesmente conexo se toda curva fechada simples  $C$  posicionado inteiramente em  $D$ . Intuitivamente, diz-se que uma região  $D$  é simplesmente conexa se qualquer curva fechada simples contida em  $D$  pode ser deformada continuamente até reduzir-se a um ponto, sem sair de  $D$ . Na figura temos (3.1)  $A$  e  $B$ , no qual  $A$  é simplesmente conexa e  $B$  não. Daí chamaremos de multiplamente conexa toda região conexa que não for simplesmente conexa. Para o melhor entendimento um domínio simplesmente conexo quando não possui "buraco" e multiplamente conexo quando possui "buraco".

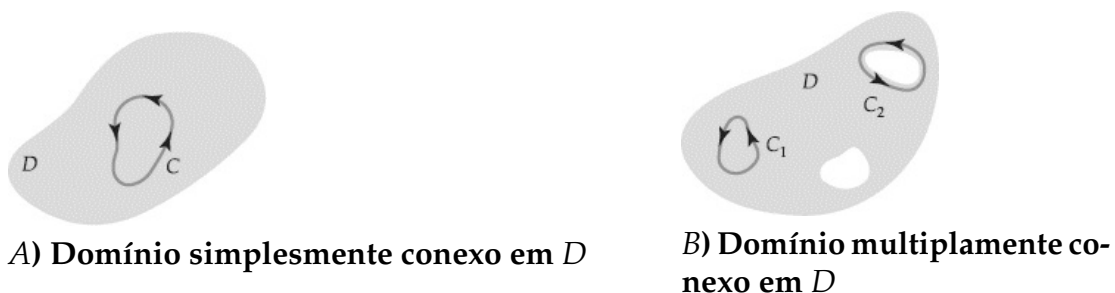


Figura 3.1 – Domínio simplesmente conexo e multiplamente conexo  
Fonte: (DENNIS; SHANAHAN, 1940)

No capítulo anterior provamos o Teorema de Cauchy usando o Teorema de Green. Podemos observar, que foi demonstrando de maneira simples pela hipótese da continuidade de  $f'$  em todos os pontos de um domínio simplesmente conexo  $D$ .

O matemático francês **Edouard Goursat (1858-1936)** publicou uma prova do Teorema de Cauchy em 1900 sem esta hipótese de continuidade. A consequência, seu nome foi adicionado ao de Cauchy enunciado de um dos mais fundamentais Teoremas na análise complexa.

### 3.2 O Teorema de Cauchy-Goursat

Como o interior de um contorno fechado simples é um domínio simplesmente conexo, o Teorema Cauchy-Goursat (2.6) pode ser enunciado de uma forma mais prática:

**Teorema 3.1.** *Ja  $f$  uma função analítica. Num domínio simplesmente conexo  $D$ . Se  $C$  é um em contorno fechado simples contido em  $D$ , então*

$$\oint_C f(z) dz = 0.$$

**Demonstração:** Suponha  $\Delta \subset D$  é um triângulo que limita uma região inteiramente contida em  $D$ . Então

$$\oint_{\Delta} f(z) dz = 0 \tag{3.1}$$

Inicialmente munimos o triângulo  $\Delta$  da orientação compatível com a região por ele

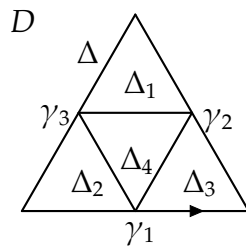


Figura 3.2 – Contornos triangulares  $\Delta_1, \Delta_2, \Delta_3$  e  $\Delta_4$   
 Fonte: Próprio autor

limitada, adotando o sentido anti-horário para o percurso. Unindo os pontos médios do lado ( $\Delta$ ) temos  $\gamma_1, \gamma_2$  e  $\gamma_3$ , por meio de segmentos de retas e formamos quatro triângulos menores  $\Delta_1, \Delta_2, \Delta_3$  e  $\Delta_4$  mostrado na figura (3.2), a propriedade (3) nos permite escrever da seguinte forma:

$$\oint_{\Delta} f(z) dz = \oint_{\Delta_1} f(z) dz + \oint_{\Delta_2} f(z) dz + \oint_{\Delta_3} f(z) dz + \oint_{\Delta_4} f(z) dz. \tag{3.2}$$

As quatro integrais acima nos fornecem quatro números complexos. Escolhendo dentre eles o que tem o maior módulo e chamando de  $\Delta^{(1)}$  no triângulo correspondente. Então temos

$$\left| \oint_{\Delta_i} f(z) dz \right| \leq \left| \oint_{\Delta^{(1)}} f(z) dz \right| \tag{3.3}$$

para  $i = 1, 2, 3, 4$  e portanto

$$\left| \oint_{\Delta} f(z) dz \right| \leq 4 \left| \oint_{\Delta^{(1)}} f(z) dz \right|. \tag{3.4}$$

Sabendo que o perímetro de cada um dos triângulos  $\Delta_i$  o comprimento  $\ell(\Delta_i)$ , está relacionado com perímetro  $\ell(\Delta)$  de  $\Delta$  por

$$\ell(\Delta_i) = \frac{1}{2}\ell(\Delta) \text{ para } i = 1, 2, 3, 4 \quad (3.5)$$

pois, marcamos os pontos médios dos lados do triângulo  $\Delta$ . Em particular

$$\ell(\Delta^{(1)}) = \frac{1}{2}\ell(\Delta). \quad (3.6)$$

Chamando de  $\delta_i$  o lado de  $\Delta_i$  o maior comprimento e de  $\delta$  o lado de  $\Delta$  de maior comprimento, obtemos as seguintes igualdades

$$\delta_i = \frac{1}{2}\delta \text{ para } i = 1, 2, 3, 4, \quad (3.7)$$

então agora nos fornece

$$\delta^{(1)} = \frac{1}{2}\delta. \quad (3.8)$$

Sabendo disso, basta repetir todo procedimento acima para o triângulo  $\Delta^{(1)}$ , vamos dividir em quatro novos triângulos, formados a partir dos pontos médios em cada lado do triângulo, escolhendo o sentido do percurso anti-horário para cada um deles e calcular as quatro integrais correspondentes. Escolhendo dentre eles o que tem o maior módulo e chamando de  $\Delta^{(2)}$  no triângulo correspondente. Então temos:

região limitada por  $\Delta^{(2)} \subset$  região limitada por  $\Delta^{(1)}$

$$\left| \oint_{\Delta^{(1)}} f(z) dz \right| \leq 4 \left| \oint_{\Delta^{(2)}} f(z) dz \right| \quad (3.9)$$

$$\ell(\Delta^{(2)}) = \frac{1}{2}\ell(\Delta^{(1)}) \quad (3.10)$$

$$\delta^{(2)} = \frac{1}{2}\delta^{(1)}. \quad (3.11)$$

Se repetimos o processo acima para o triângulo  $\Delta^{(2)}$  e assim sucessivamente, após  $n$  etapas obtemos

região limitada por  $\Delta^{(n)} \subset \dots \subset$  região limitada por  $\Delta^{(1)}$

$$\left| \oint_{\Delta} f(z) dz \right| \leq 4^n \left| \oint_{\Delta^{(n)}} f(z) dz \right| \quad (3.12)$$

$$\ell(\Delta^{(n)}) = \frac{1}{2^n}\ell(\Delta) \quad (3.13)$$

$$\delta^{(n)} = \left(\frac{1}{2}\right)^n \delta. \quad (3.14)$$

Agora vamos recorrer um Teorema, devido a Georg Cantor que pode ser visto em ((LIMA, 1983)), existe um ponto  $z_0$  comum a todas regiões limitadas pelos triângulos  $\Delta^{(i)}, i \geq 1$ . Como  $f$  é analítica em  $z_0$ , dado  $\epsilon > 0$  podemos obter  $\tau > 0$  tal que:

1. O disco  $\beta(z_0, \tau)$  está inteiramente contido em  $D$  e
2.  $0 < |z - z_0| < \tau \implies \left| \frac{f(z) - f(z_0)}{z - z_0} - f'(z_0) \right| < \epsilon.$

A ultima desigualdade equivale a

$$\begin{aligned} \left| \frac{f(z) - f(z_0)}{z - z_0} - \frac{f'(z_0)(z - z_0)}{z - z_0} \right| &< \frac{\epsilon|z - z_0|}{|z - z_0|} \\ |f(z) - f(z_0) - f'(z_0)(z - z_0)| &< \epsilon|z - z_0|, \end{aligned}$$

de modo que  $0 < |z - z_0| < \tau$ . Escolhendo um  $n$  suficientemente grande de tal modo que

$$\begin{aligned} \delta^{(n)} &= \left(\frac{1}{2}\right)^{(n)} \delta < \tau, \\ \Delta^{(n)} &\subset \beta(z_0, \tau), \end{aligned}$$

para todo  $z_0 \in \delta^{(n)}$ . Por outro lado, temos:

$$\oint_{\Delta^{(n)}} [f(z) - f(z_0) - f'(z_0)(z - z_0)] dz = \oint_{\Delta^{(n)}} [f(z) - f(z_0) + f'(z_0)z_0 - f'(z_0)z] dz.$$

Daí, obtemos:

$$\oint_{\Delta^{(n)}} f(z) dz + [f'(z_0)z_0 - f(z_0)] \oint_{\Delta^{(n)}} dz - f'(z_0) \oint_{\Delta^{(n)}} z dz.$$

Para obtermos o resultado das duas últimas integrais temos o seguinte Teorema:

**Teorema 3.2.** *Sejam  $D \subset \mathbb{C}$  um domínio,  $f : D \rightarrow \mathbb{C}$  uma função contínua,  $F$  uma primitiva de  $f$  em  $D$  e  $C$  um caminho suave por partes em  $D$  unindo o ponto  $z_0$  ao ponto  $z_1$ . Então*

$$\int_C f(z) dz = F(z_1) - F(z_0).$$

Em particular, se o caminho é fechado então

$$\int_C f(z) dz = 0.$$

**Demonstração:** ver (SOARES, 2003). Segue-se daí que:

$$\oint_{\Delta^{(n)}} dz = 0 \quad \text{e} \quad \oint_{\Delta^{(n)}} z dz = 0.$$

Assim

$$\oint_{\Delta^{(n)}} [f(z) - f(z_0) - f'(z_0)(z - z_0)] dz = \oint_{\Delta^{(n)}} f(z) dz.$$

Antes de chegar a parte final do teorema vamos apresentar um **Lema Técnico** que podemos ver (SOARES, 2003).

**Lema 3.3.** *Sejam  $D \subset \mathbb{C}$  um domínio,  $f : D \rightarrow \mathbb{C}$  uma função contínua e  $\gamma(t)$ ,  $a \leq t \leq b$ , um caminho suave por partes em  $D$ , de comprimento  $\ell(\gamma)$ . Seja  $K \geq 0$  um número real tal que  $|f(\gamma(t))| \leq K$  para todo  $a \leq t \leq b$ . Então*

$$\left| \int_{\gamma} f(z) dz \right| \leq K\ell(\gamma).$$

Para,  $a \leq t \leq b$ . temos

$$\begin{aligned} \left| \int_{\Delta^{(n)}} f(z) dz \right| &= \left| \int_{\Delta^{(n)}} [f(z) - f(z_0) - f'(z_0)(z - z_0)] dz \right| \\ &\leq \int_{\Delta^{(n)}} |[f(z) - f(z_0) - f'(z_0)(z - z_0)]| |dz| \\ &< \epsilon \int_{\Delta^{(n)}} |z - z_0| |dz| \leq \epsilon \delta^{(n)} \ell(\Delta^{(n)}) \\ &= \epsilon \left(\frac{1}{2}\right)^{(n)} \delta \left(\frac{1}{2}\right)^{(n)} \ell(\Delta) \\ &= \left(\frac{1}{4}\right)^{(n)} \epsilon \delta \ell(\Delta). \end{aligned}$$

Sabendo disso, podemos escrever

$$\left| \int_{\Delta} f(z) dz \right| \leq 4^n \left| \int_{\Delta^{(n)}} f(z) dz \right| \leq 4^n \left(\frac{1}{4}\right)^{(n)} \epsilon \delta \ell(\Delta) = \epsilon \delta \ell(\Delta).$$

Como  $\epsilon > 0$  pode ser feito arbitrariamente pequeno, então temos  $\left| \int_{\Delta} f(z) dz \right| = 0$ , de maneira que  $\int_{\Delta} f(z) dz = 0$ .  
Logo o teorema está demonstrado. ■

Agora faremos o caso em que  $C$  é uma região poligonal  $\delta_1, \delta_2, \delta_3, \dots e \delta_n$

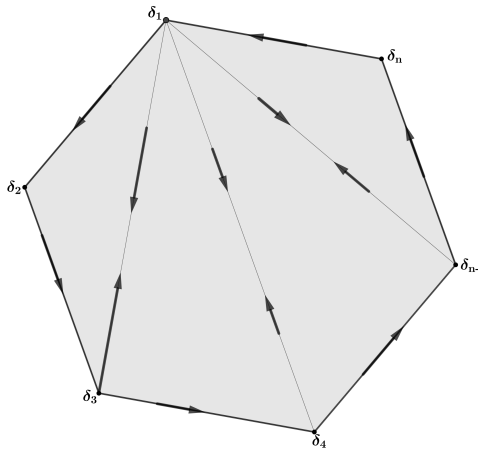


Figura 3.3 – Região poligonal  
Fonte: Próprio autor

**Demonstração:** Seja o polígono de lados  $\delta_1, \delta_2, \delta_3, \delta_4, \delta_{n-1}$  e  $\delta_n$ , como podemos ver na figura (3.3). Quando ligamos os vértices a partir de  $\delta_1$  os lados não adjacentes no sentido anti-horário, logo construímos quatro triângulos e o lado comum de cada triângulo se anulam. Como já foi visto no caso anterior temos que a integral de cada contorno  $C$  é igual a zero.

portanto:

$$\int_C f(z) dz = \int_{\delta_1} f(z) dz + \int_{\delta_2} f(z) dz + \int_{\delta_3} f(z) dz + \dots + \int_{\delta_{n-2}} f(z) dz = 0$$

■

Falta o caso que  $C$  é uma região poligonal, o caso em que  $C$  é uma curva fechada simples qualquer.

**Teorema 3.4.** *Seja  $C$  um contorno fechado simples totalmente posicionado em  $D$ ; então*

$$\oint_C f(z) dz = 0. \tag{3.15}$$

**Demonstração:** A figura (3.4) mostra um contorno fechado simples  $C$  e  $n$  pontos  $z_1, z_2, \dots, z_n$  em  $C$ , pelos os quais passa uma curva poligonal  $P$ .

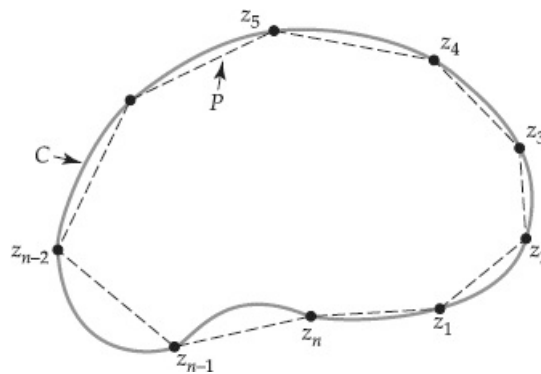


Figura 3.4 – Contorno simples passando por uma curva poligonal (DENNIS; SHANAHAN, 1940)

Então vamos aplicar a ideia da Soma de Riemann;

$$S_n = \sum_{k=1}^n f(z_k) \Delta_k, \quad \Delta_k = z_k - z_{k-1}.$$

Por definição,

$$\oint_C f(z) dz = \lim_{n \rightarrow \infty} \sum_{k=1}^n f(z_k^*) \Delta z_k.$$

Pelo caso anterior temos:

$$\int_{z_0}^{z_1} f(z) dz + \int_{z_1}^{z_2} f(z) dz + \dots + \int_{z_{n-1}}^{z_n} f(z) dz = 0.$$

$$\int_{z_0}^{z_1} [f(z) - f(z_1) + f(z_1)] dz + \dots + \int_{z_{n-1}}^{z_n} [f(z) - f(z_n) + f(z_n)] dz = 0$$

$$\int_{z_0}^{z_1} [f(z) - f(z_1)] dz + \dots + \int_{z_{n-1}}^{z_n} [f(z) - f(z_n)] dz + \underbrace{\int_{z_0}^{z_1} f(z_1) dz + \dots + \int_{z_{n-1}}^{z_n} f(z_n) dz}_{=S_n} = 0.$$

Daí

$$S_n = \int_{z_0}^{z_1} [f(z_1) - f(z)] dz + \dots + \int_{z_{n-1}}^{z_n} [f(z_n) - f(z)] dz,$$

tomando  $n$  suficientemente grande de modo que:

$$\begin{aligned} |f(z_1) - f(z)| &< \frac{\epsilon}{2\ell} \\ |f(z_n) - f(z)| &< \frac{\epsilon}{2\ell}. \end{aligned}$$

Daí temos

$$\begin{aligned} |S_n| &\leq \left| \int_{z_0}^{z_1} [f(z_1) - f(z)] dz \right| + \dots + \left| \int_{z_{n-1}}^{z_n} [f(z_n) - f(z)] dz \right| \\ |S_n| &< \frac{\epsilon}{2\ell} \left[ \left| \int_{z_0}^{z_1} dz \right| + \dots + \left| \int_{z_{n-1}}^{z_n} dz \right| \right] \\ |S_n| &< \frac{\epsilon}{2\ell} \left[ \underbrace{|z_1 - z_0| + \dots + |z_n - z_{n-1}|}_{\ell} \right] \\ &= \frac{\epsilon}{2\ell} \cdot \ell \\ &= \frac{\epsilon}{2}. \end{aligned}$$

Além disso.

$$\begin{aligned} \int_C f(z) dz &= \int_C f(z) dz - S_n + S_n \\ \left| \int_C f(z) dz \right| &\leq \left| \int_C f(z) dz - S_n \right| + S_n \\ &< \frac{\epsilon}{2} + \frac{\epsilon}{2} = \epsilon \end{aligned}$$

já que  $\epsilon$  é arbitrário,

$$\int_C f(z) dz = 0$$



### 3.3 Aplicações do Teorema de Cauchy-Goursat

**Aplicação 1.** Mostre que  $\oint_C f(z) dz = 0$  onde  $f$  é a função dada e  $C$ , a circunferência unitária  $|z| = 1$ .

(a)  $f(z) = z^3 - 1 + 3i$

**Solução:** Temos  $f(z) = z^3 - 1 + 3i$  e  $C$  a circunferência unitária  $|z| = 1$ , além disso  $f(z)$  é

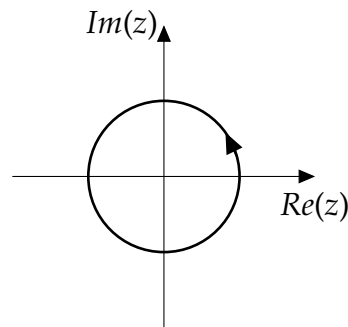


Figura 3.5 – Circunferência de  $r = 1$   
Fonte: Próprio autor

uma função polinomial e conseqüentemente é inteira, como podemos observar na figura (3.5), a função é analítica em todos os pontos dentro e sobre o contorno fechado simples. Utilizando o Teorema de Cauchy-Goursat, então temos que:

$$\oint_{|z|=1} (z^3 - 1 + 3i) dz = 0.$$

■

(b)  $f(z) = z^2 + \frac{1}{z-4}$

**Solução:** Temos  $f(z) = z^2 + \frac{1}{z-4}$  e  $C$  a circunferência unitária, note que  $\frac{1}{z-4}$  é analítica

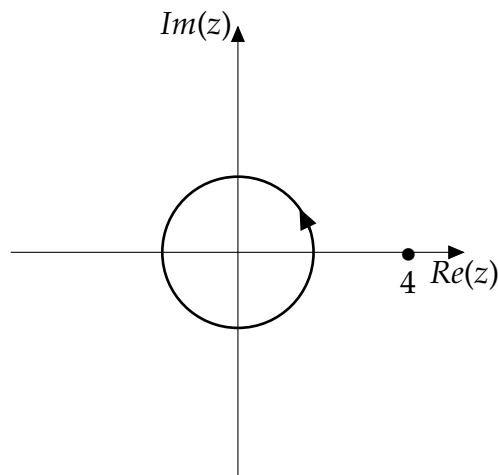


Figura 3.6 – Circunferência de  $r = 1$   
Fonte: Próprio autor

exceto no ponto  $z = 4$ , por outro lado temos  $f(z) = z^2$  é uma função inteira, logo é analítica. Portanto  $f(z) = z^2 + \frac{1}{z-4}$  é analítica exceto no ponto  $z = 4$ , daí podemos concluir que  $z = 4$  não é um ponto no interior do contorno da circunferência fechada simples e pelo o

Teorema de Cauchy-Goursat temos:

$$\oint_{|z|=1} \left( z^2 + \frac{1}{z-4} \right) dz = 0.$$

■

(c)  $f(z) = \frac{z}{2z+3}$

**Solução:** Note que  $f(z) = \frac{z}{2z+3}$ , não é analítica no ponto  $z = \frac{3}{2}$ , como este ponto não

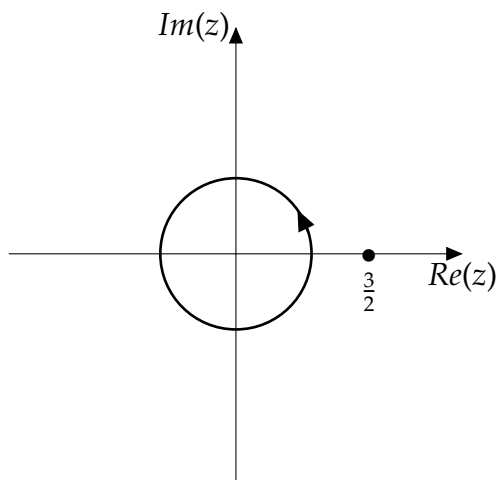


Figura 3.7 – Circunferência de  $r = 1$   
Fonte: Próprio autor

está dentro do contorno da circunferência fechada simples, veja a figura (3.7) e pelo o Teorema de Cauchy-Goursat temos:

$$\oint_{|z|=1} \frac{z}{2z+3} dz = 0.$$

■

**Aplicação 2.** Calcule a integral dada ao longo do(s) contorno(s) fechado(s) indicado(s)  $\oint_C \frac{2z}{z^2+3} dz$ .

**Solução:** Neste caso temos  $f(z) = \frac{2z}{z^2+3}$ , e o denominador pode ser fatorado  $z^2+3 = (z - \sqrt{3}i) - (z - \sqrt{3}i)$ , onde  $a = 1$ ,  $b = 0$  e  $c = 3$ .

Substituindo na fórmula quadrática, temos;

$$\begin{aligned} z &= \frac{-b \pm \sqrt{b^2 - 4ac}}{2a} \\ &= \frac{0 \pm \sqrt{0^2 - 4(1)(3)}}{2 \cdot 1} \\ &= \pm \frac{\sqrt{-12}}{2} \\ &= \pm \frac{\sqrt{4 \cdot 3 \cdot (-1)}}{2} \end{aligned}$$

lembrando que  $i^2 = -1$ , logo

$$\begin{aligned} z &= \pm 2 \frac{\sqrt{3 \cdot i^2}}{2} \\ &= \pm \sqrt{3}i. \end{aligned}$$

Portanto, o integrando  $\frac{2z}{z^2 + 3}$ , não é analítico nos pontos  $z = \sqrt{3}i$  e  $z = -\sqrt{3}i$ . Rescrevendo  $f(z)$

$$\frac{2z}{z^2 + 3} = \frac{2z}{(z - \sqrt{3}i)(z + \sqrt{3}i)}. \quad (3.16)$$

Vamos usar frações parciais em (3.16):

$$\frac{A}{z - \sqrt{3}i} + \frac{B}{z + \sqrt{3}i} = \frac{2z}{(z - \sqrt{3}i)(z + \sqrt{3}i)}$$

$$\frac{\cancel{(z - \sqrt{3}i)}(z + \sqrt{3}i)}{\cancel{(z - \sqrt{3}i)}}A + \frac{\cancel{(z - \sqrt{3}i)}(z + \sqrt{3}i)}{\cancel{(z + \sqrt{3}i)}}B = \frac{2z\cancel{(z - \sqrt{3}i)}\cancel{(z + \sqrt{3}i)}}{\cancel{(z - \sqrt{3}i)}\cancel{(z + \sqrt{3}i)}}$$

$$(z + \sqrt{3}i)A + (z - \sqrt{3}i)B = 2z$$

$$Az + A\sqrt{3}i + Bz - B\sqrt{3}i = 2z$$

Daí temos:

$$\left. \begin{aligned} Az + Bz &= 2z \\ A\sqrt{3}i - B\sqrt{3}i &= 0 \end{aligned} \right\} = \left. \begin{aligned} A + B &= 2 \quad (1) \\ A\sqrt{3}i - B\sqrt{3}i &= 0 \quad (2) \end{aligned} \right\}.$$

Em (1) temos  $A = 2 - B$ , substituindo (1) em (2) temos;

$$(2 - B)\sqrt{3}i - B\sqrt{3}i = 0$$

$$2\sqrt{3}i - 2B\sqrt{3}i = 0$$

$$2\sqrt{3}i = 2B\sqrt{3}i$$

$$B = \frac{2\sqrt{3}i}{2\sqrt{3}i}$$

$$B = 1$$

Substituindo  $B = 1$  em (1),

$$A = 2 - B$$

$A = 2 - 1 = 1$ ; Daí temos que  $A = B = 1$  em

$$\frac{A}{z - \sqrt{3}i} + \frac{B}{z + \sqrt{3}i}.$$

Então obtemos novas integrais

$$\oint \left( \frac{1}{z - \sqrt{3}i} + \frac{1}{z + \sqrt{3}i} \right) dz = \oint \frac{1}{z - \sqrt{3}i} dz + \oint \frac{1}{z + \sqrt{3}i} dz.$$

Esta função não é analítica neste dois pontos  $z = \sqrt{3}i$  e  $z = -\sqrt{3}i$ . ■

(a)  $|z| = 1$

**Solução:** Como os pontos  $z_1 = \sqrt{3}i$  e  $z_2 = -\sqrt{3}i$ , não é um ponto no interior ou

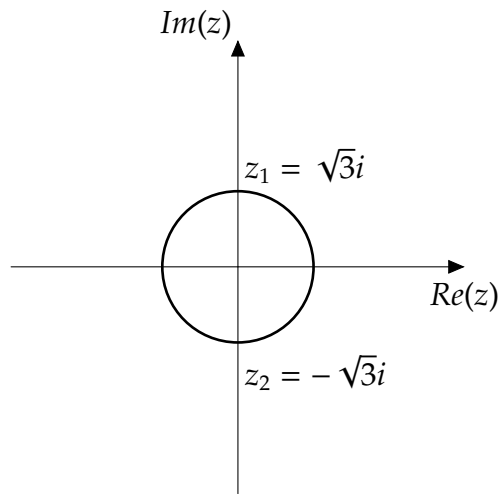


Figura 3.8 – Circunferência de  $r = 1$   
Fonte: Próprio autor

contorno da circunferência unitária fechada, observe a figura (3.8), aplicando o Teorema de Cauchy-Goursat temos;

$$\oint \frac{1}{z - \sqrt{3}i} dz + \oint \frac{1}{z + \sqrt{3}i} dz = 0 + 0 = 0.$$

Portanto podemos concluir que

$$\oint_{|z|=1} \frac{2z}{z^2 + 3} = 0$$

■

(b)  $|z - 2i| = 1$

**Solução:** Daí temos

$$\oint \frac{1}{z - \sqrt{3}i} dz + \oint \frac{1}{z + \sqrt{3}i} dz.$$

Como  $z_2$ , não é um ponto no interior da circunferência, então vamos aplicar o Teorema de Cauchy Goursat na primeira integral.

$$0 + \oint \frac{1}{z + \sqrt{3}i} dz = \oint \frac{1}{z + \sqrt{3}i} dz.$$

Podemos mostrar que se  $z_0$  for um número complexo constante qualquer interior a qualquer contorno fechado simples  $C$ , para um inteiro  $n$ . Logo temos

$$\oint \frac{z}{(z - z_0)^n} dz = \begin{cases} 2\pi i, & n = 1 \\ 0, & n \neq 1 \end{cases}$$

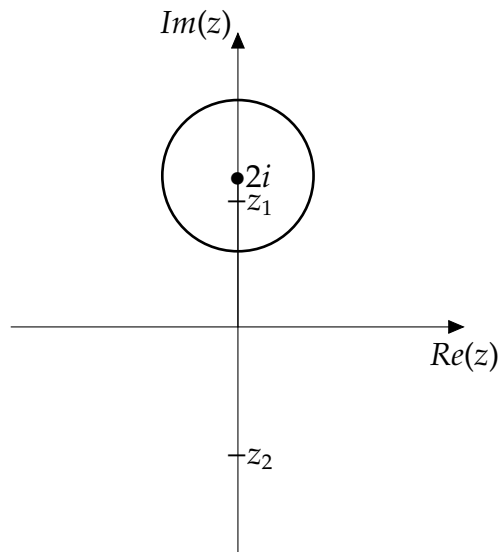


Figura 3.9 – Circunferência de  $r = 1$  no centro  $2i$   
 Fonte: Próprio autor

Portanto, podemos concluir que  $n = 1$ .

$$\oint \frac{1}{z + \sqrt{3}i} dz = 2\pi i.$$

Logo

$$\oint \frac{1}{z - \sqrt{3}i} dz + \oint \frac{1}{z + \sqrt{3}i} dz = 2\pi i.$$

■

(c)  $|z| = 4$

**Solução:**

Nesta resolução vamos utilizar outra técnica, por meio da parametrização.

$$\oint \frac{1}{z - \sqrt{3}i} dz + \oint \frac{1}{z + \sqrt{3}i} dz.$$

Considere;

$$\begin{cases} C_1 : z(t) = \sqrt{3}i + e^{it}, 0 \leq t \leq 2\pi \\ C_2 : z(t) = -\sqrt{3}i + e^{it}, 0 \leq t \leq 2\pi. \end{cases}$$

São curvas parametrizadas na circunferência unitária em  $|z| = 1$ . Como  $|z \pm \sqrt{3}i| = \pm e^{it}$  e  $dz = ie^{it} dt$ , temos:

$$\left[ \oint_C \frac{dz}{z - \sqrt{3}i} + \frac{dz}{z + \sqrt{3}i} \right] = \oint_{C_1} \frac{dz}{z - \sqrt{3}i} + \oint_{C_1} \frac{dz}{z + \sqrt{3}i} + \oint_{C_2} \frac{dz}{z - \sqrt{3}i} + \oint_{C_2} \frac{dz}{z + \sqrt{3}i}.$$

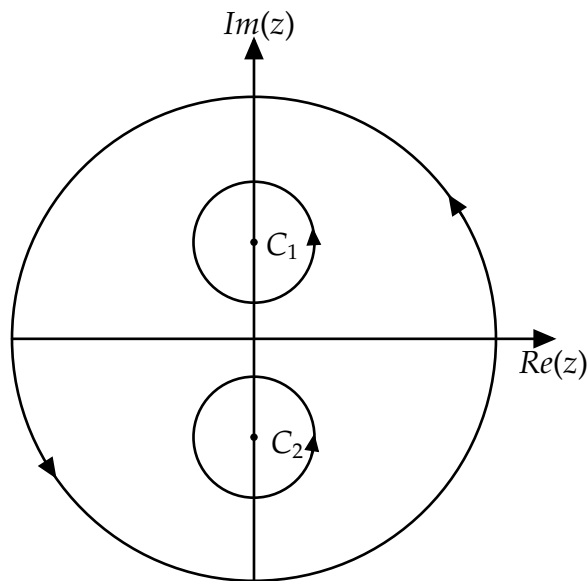


Figura 3.10 – circunferência centrada na origem  $C_1 = \sqrt{3}i$ ,  $C_2 = -\sqrt{3}i$  e  $r = 4$   
 Fonte: Próprio autor

Aplicando o Teorema de Cauchy-Goursat em

$$\oint_{C_1} \frac{dz}{z + \sqrt{3}i} + \oint_{C_2} \frac{dz}{z - \sqrt{3}i} = 0.$$

Agora vamos resolver as outras duas integrais, utilizando as parametrizações;

$$\begin{aligned} \oint_{C_1} \frac{dz}{z - \sqrt{3}i} + \oint_{C_2} \frac{dz}{z + \sqrt{3}i} &= \oint_{C_1} \frac{ie^{it}}{e^{it} - \sqrt{3}i} + \oint_{C_2} \frac{ie^{it}}{e^{it} + \sqrt{3}i} \\ &= i \int_0^{2\pi} dt + i \int_0^{2\pi} dt \\ &= 2ti \Big|_0^{2\pi} \\ &= 2i(2\pi - 0) \\ &= 4\pi i \end{aligned}$$

■

# Considerações finais

Ao realizar este trabalho, tivemos a oportunidade de aprofundar os conhecimentos e podemos perceber a importância de Análise Complexa para Matemática. Através desse conhecimento, formalizamos o estudo para mostrar um dos principais teoremas da Análise complexa.

Através desse estudo mostramos, por meio, dos números complexos que tem grande relevância na Matemática e outras áreas de estudos, por exemplo, vários campos da Ciência e Engenharia. Além disso, os Números Complexos ( $\mathbb{C}$ ) é representado na forma  $x + yi$ , assim  $x$  é a parte real e  $y$  é a parte imaginária. O  $\mathbb{C}$  é importante para soluções de problemas em algumas áreas de estudos, entre eles podemos citar: Equações Diferenciais, Análise de Funções Complexas, Mecânica Quântica, Geometria e Planos Complexos, entre outros.

A integral de plano complexo, serve para calcular a integral de uma função complexa ao longo de uma curva. Além disso, foi apresentado ao longo do trabalho, onde representamos a integral de linha complexa ao longo de uma curva  $C$ , representada pela seguinte notação  $\int_C f(z) dz$ , ou seja, Integral de Contorno.

Uma ferramenta importante para estudar essas integrais, é o Teorema de Cauchy. Esse teorema é um dos resultados mais importantes da Análise Complexa. De fato,  $f(z)$  é uma função analítica em uma região num domínio simplesmente conexo, então a integral para todo contorno fechado simples dentro dessa região sempre será zero, ou seja,  $\int_C f(z) dz = 0$ .

# Referências

ÁVILA, G. *Variáveis complexas e aplicações*. [S.l.]: Rio de Janeiro : LTC, 2011., 1993. Citado 3 vezes nas páginas 10, 22 e 24.

CHURCILL, R. V. *Variáveis Complexas e suas aplicações*. [S.l.]: São Paulo, Mc Graw-Hill do Brasil e Editora da Universidade de São Paulo 1975., 1899. Citado na página 10.

DENNIS, G. Z.; SHANAHAN, P. D. *Variáveis Complexas e suas aplicações*. [S.l.]: Rio de Janeiro : LTC, 2011., 1940. Citado 7 vezes nas páginas 10, 19, 22, 23, 24, 32 e 37.

LIMA, E. L. *Espaços Métricos, Projeto Euclides, IMPA*. [S.l.]: Rio de Janeiro., 1983. Citado 2 vezes nas páginas 32 e 34.

SOARES, M. G. *Cálculo em uma variável complexa. 3ª edição*. [S.l.]: Rio de Janeiro: IMPA, 2003. Citado 3 vezes nas páginas 10, 32 e 35.

STEWART, J. *Cálculo volume 2*. [S.l.]: São Paulo: Cengage Learning, 2013. Citado na página 22.